



INSTITUTO TECNOLÓGICO DE AERONÁUTICA
CURSO DE ENGENHARIA MECÂNICA-AERONÁUTICA

MPS-43: SISTEMAS DE CONTROLE

VIII. MÉTODOS DE RESPOSTA EM FREQUÊNCIA

Prof. Davi Antônio dos Santos (davists@ita.br)

Departamento de Mecatrônica

<http://www.professordavisantos.com> – **courses/MPS-43**

Outubro/2022
São José dos Campos

Sumário

VIII. MÉTODOS DE RESPOSTA EM FREQUÊNCIA

VIII.1. Introdução

VIII.2. Função de Transferência Senoidal

VIII.3. Gráficos de Resposta em Frequência

VIII.4. Resposta em Frequência de Malha Fechada

VIII.5. Erro em Regime Permanente

VIII.6. Estabilidade Relativa

Introdução

VIII.1. Introdução

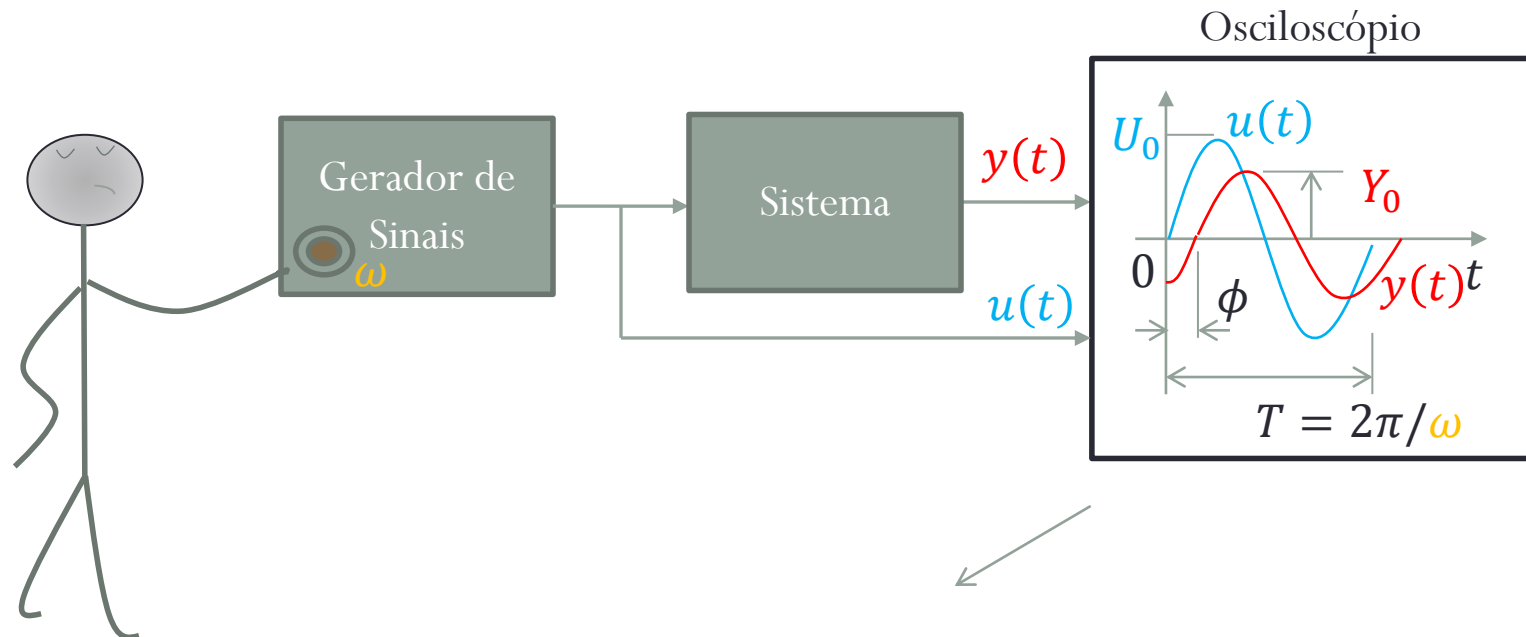
Definição:

A resposta em frequência de um sistema dinâmico:

É a gama de respostas em regime permanente a excitações senoidais de amplitude constante e frequência variável

VIII.1. Introdução

Levantamento Experimental da Resposta em Frequência



Frequência	Ganho	Defasagem
ω	Y_0/U_0	ϕ
...
...

Função de Transferência Senoidal

VIII.2. Função de Transferência Senoidal

VIII.2.1. Definição

Definição:

A **função de transferência senoidal** (FTS) correspondente à função de transferência (FT) $G(s)$ é por definição $G(j\omega)$.

Exemplo:

- FT:
$$G(s) = \frac{k}{s(s+a)}$$

- FTS:
$$G(j\omega) = \frac{k}{j\omega(j\omega+a)}$$

VIII.2. Função de Transferência Senoidal

Sistemas LIT Estáveis:



Considere que a **entrada** seja

$$u(t) = U_0 \sin \omega t, \quad (1)$$

onde U_0 é a **magnitude** de $u(t)$ e ω é a **frequência** em rad/s de $u(t)$.

Suponha que em regime permanente a **resposta** $y(t)$ à entrada $u(t)$ seja

$$y_P(t) = Y_0 \sin(\omega t + \phi), \quad (2)$$

onde Y_0 é a **magnitude** de $y_P(t)$ e ϕ é a **diferença de fase** entre $y_P(t)$ e $u(t)$.

VIII.2. Função de Transferência Senoidal

VIII.2.2. Relação Entre a FTS e a Resposta em Frequência

Seja um sistema LIT estável modelado por:

$$G(s) = \frac{Y(s)}{U(s)} = \frac{s^m + b_{m-1}s^{m-1} + \dots + b_1s + b_0}{s^n + a_{n-1}s^{n-1} + \dots + a_1s + a_0}, \quad m < n$$

Submetendo esse sistema à entrada $u(t)$ senoidal da equação (1), a saída $Y(s)$ fica:

$$Y(s) = G(s)U(s) = \left(\frac{s^m + b_{m-1}s^{m-1} + \dots + b_1s + b_0}{s^n + a_{n-1}s^{n-1} + \dots + a_1s + a_0} \right) \frac{U_0\omega}{s^2 + \omega^2},$$

VIII.2. Função de Transferência Senoidal

que, considerando por simplicidade que $G(s)$ tenha **polos distintos**, pode ser decomposta em frações parciais, dando:

$$Y(s) = \left(\frac{K_1}{s + p_1} + \frac{K_2}{s + p_2} + \dots + \frac{K_n}{s + p_n} \right) + \left(\frac{K}{s + j\omega} + \frac{K^*}{s - j\omega} \right).$$

No domínio do tempo, a saída $y(t)$ fica:

$$y(t) = K_1 e^{-p_1 t} + \dots + K_n e^{-p_n t} + (K e^{-j\omega t} + K^* e^{j\omega t}), \quad (3)$$

onde,

$$K = \lim_{s \rightarrow -j\omega} \left\{ (s + j\omega) \left[G(s) \frac{U_0 \omega}{(s + j\omega)(s - j\omega)} \right] \right\} = \frac{G(-j\omega) U_0}{-2j}$$

VIII.2. Função de Transferência Senoidal

e, portanto,

$$K^* = \frac{G(j\omega)U_0}{2j}.$$

Como $G(s)$ é estável,

$$\lim_{t \rightarrow \infty} K_i e^{-p_i t} = 0, \quad i = 1, 2, \dots, n.$$

Tomando o limite de $y(t)$ da equação (3) para $t \rightarrow \infty$, obtemos:

$$y_P(t) = \lim_{t \rightarrow \infty} y(t) = \frac{G(-j\omega)U_0}{-2j} e^{-j\omega t} + \frac{G(j\omega)U_0}{2j} e^{j\omega t} \quad (4)$$

VIII.2. Função de Transferência Senoidal

Mas

$$G(j\omega) = |G(j\omega)|e^{j\phi G(j\omega)}$$

$$G(-j\omega) = |G(j\omega)|e^{-j\phi G(j\omega)}$$

e, portanto, a equação (4) pode finalmente ser escrita como

$$y_P(t) = U_0 |G(j\omega)| \sin(\omega t + \phi G(j\omega)) \quad (5)$$

VIII.2. Função de Transferência Senoidal

Comparando (2) e (5), conclui-se, portanto, que

$$\frac{Y_o}{U_o} \equiv |G(j\omega)|, \quad \phi \equiv \angle G(j\omega)$$

e que a frequência ω do sinal de saída em regime permanente $y_P(t)$ é igual à do sinal de entrada $u(t)$.

Por essa razão,

vamos chamar $G(j\omega)$ de (função) resposta em frequência.

Gráficos de Resposta em Frequência

VIII.3. Gráficos de Resposta em Frequência

Em controle, são usuais as seguintes representações gráficas da resposta em frequência:

1. Diagrama de Bode
2. Diagrama de Nyquist
3. Diagrama de Nichols

VIII.3. Gráficos de Resposta em Frequência

VIII.3.1. Diagrama de Bode

Definição:

Consiste de dois gráficos:

1. Módulo: $|G(j\omega)|_{dB} \times \omega$
2. Fase: $\angle G(j\omega) \times \omega$ [graus]

em que a frequência ω está representada numa **escala logarítmica**.



VIII.3. Gráficos de Resposta em Frequência

Fatores Básicos:

1. Ganho:

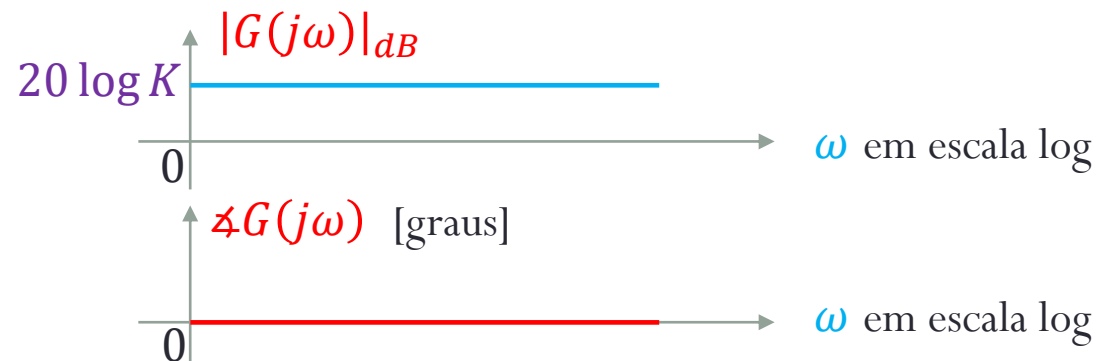
$$G(j\omega) = K, \quad K > 0$$

Portanto,

$$|G(j\omega)|_{dB} = 20 \log K,$$

$$\angle G(j\omega) = 0^\circ.$$

O esboço fica:



VIII.3. Gráficos de Resposta em Frequência

2. Derivador:

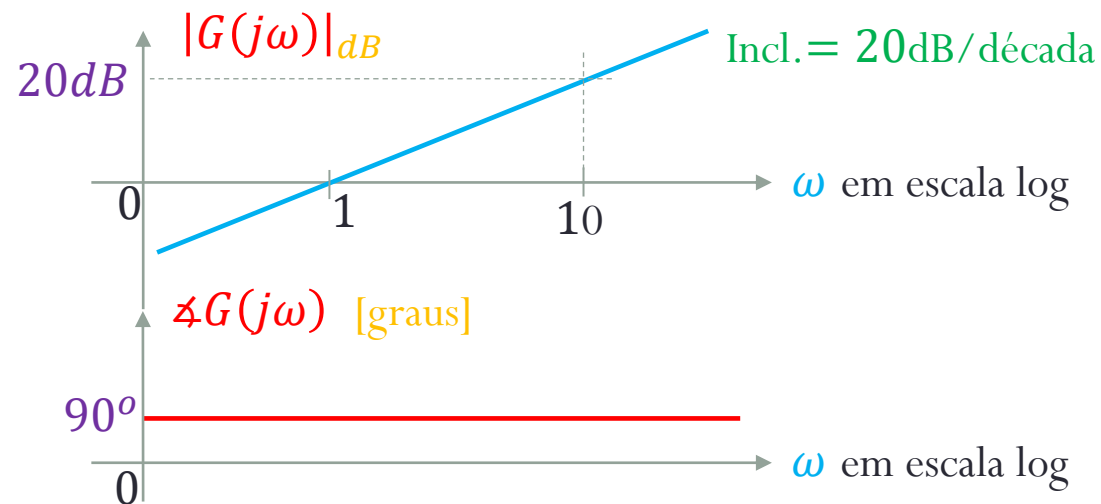
$$G(j\omega) = j\omega$$

Portanto,

$$|G(j\omega)|_{dB} = 20 \log \omega ,$$

$$\angle G(j\omega) = \arctan \frac{\omega}{0} = 90^\circ .$$

O esboço fica:



VIII.3. Gráficos de Resposta em Frequência

3. Integrador:

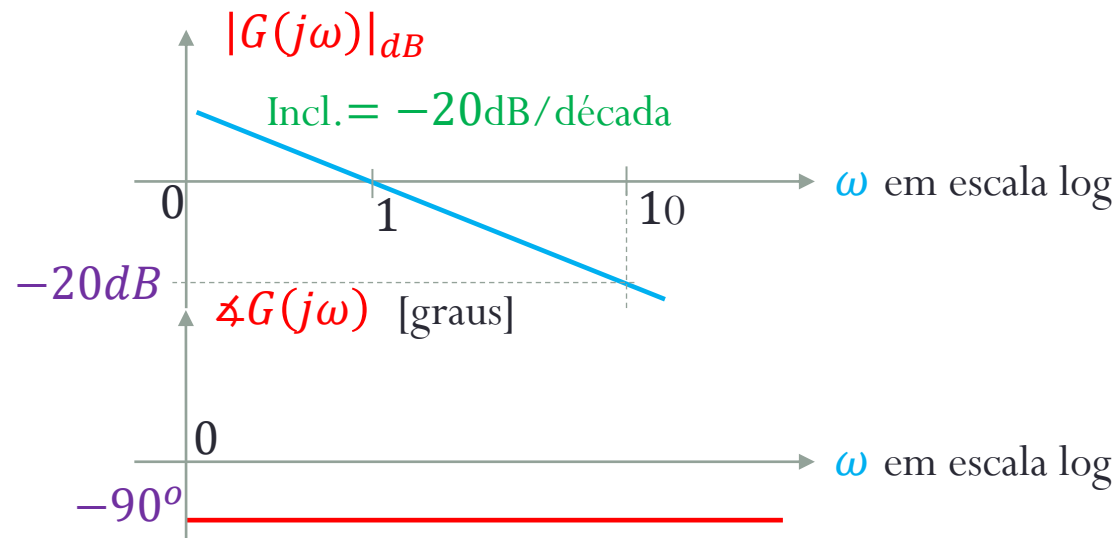
$$G(j\omega) = 1/j\omega$$

Portanto,

$$|G(j\omega)|_{dB} = -20 \log \omega,$$

$$\angle G(j\omega) = -\arctan \frac{\omega}{0} = -90^\circ.$$

O esboço fica:



VIII.3. Gráficos de Resposta em Frequência

4. Fator de primeira ordem no numerador:

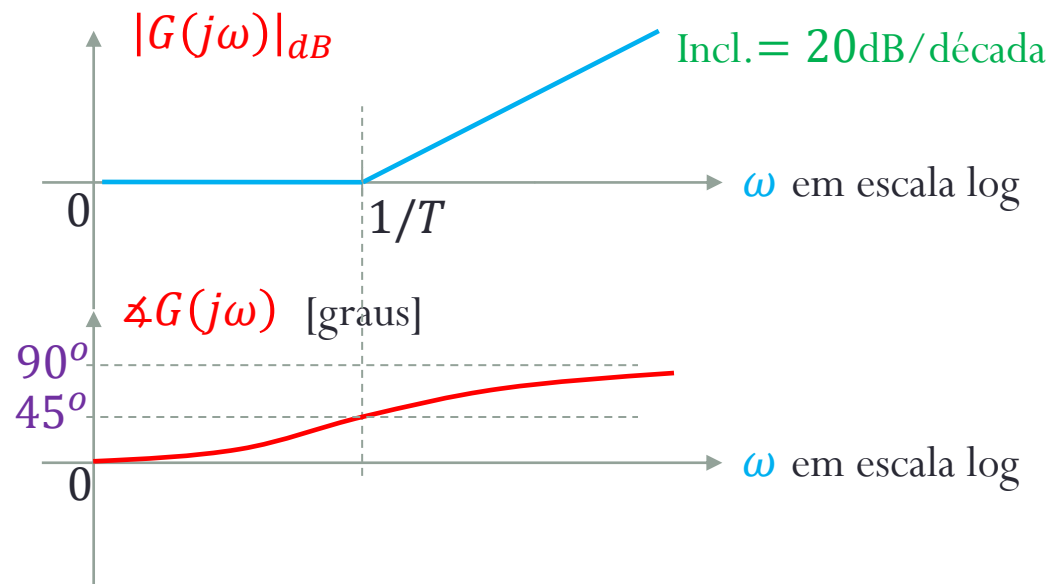
$$G(j\omega) = j\omega T + 1, \quad T > 0$$

Portanto,

$$|G(j\omega)|_{dB} = 20 \log \sqrt{1 + \omega^2 T^2},$$

$$\angle G(j\omega) = \arctan \omega T.$$

O esboço fica:



VIII.3. Gráficos de Resposta em Frequência

5. Fator de primeira ordem no denominador:

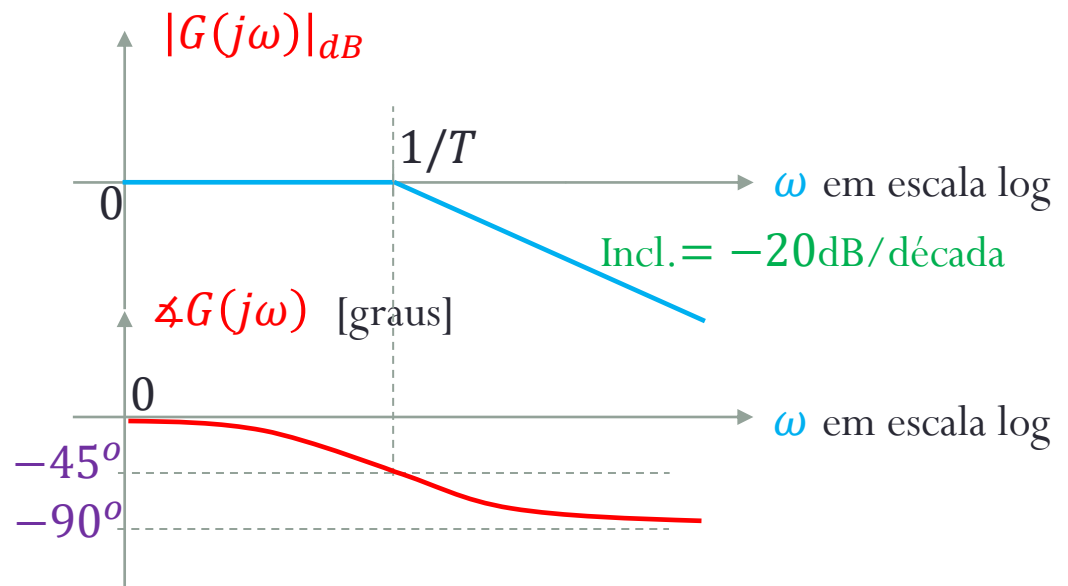
$$G(j\omega) = 1/(j\omega T + 1), \quad T > 0$$

Portanto,

$$|G(j\omega)|_{dB} = -20 \log \sqrt{1 + \omega^2 T^2},$$

$$\angle G(j\omega) = -\arctan \omega T.$$

O esboço fica:



VIII.3. Gráficos de Resposta em Frequência

6. Fator de segunda ordem no numerador:

$$G(j\omega) = 1 + 2\zeta j\omega/\omega_n + (j\omega/\omega_n)^2$$

Portanto,

$$|G(j\omega)|_{dB} = 20 \log \sqrt{(1 - \omega^2/\omega_n^2)^2 + (2\zeta\omega/\omega_n)^2},$$

$$\angle G(j\omega) = \arctan \frac{2\zeta\omega/\omega_n}{1 - \omega^2/\omega_n^2}.$$

VIII.3. Gráficos de Resposta em Frequência

Valores Extremos da Fase e Assíntotas do Gráfico de Módulo:

- Baixas frequências ($\omega \rightarrow 0$):

$$|G(j\omega)|_{dB} = 0 \text{ dB}$$

$$\angle G(j\omega) = 0^\circ$$

- Altas frequências ($\omega \rightarrow \infty$):

$$|G(j\omega)|_{dB} = 40 \log \omega / \omega_n \text{ dB}$$

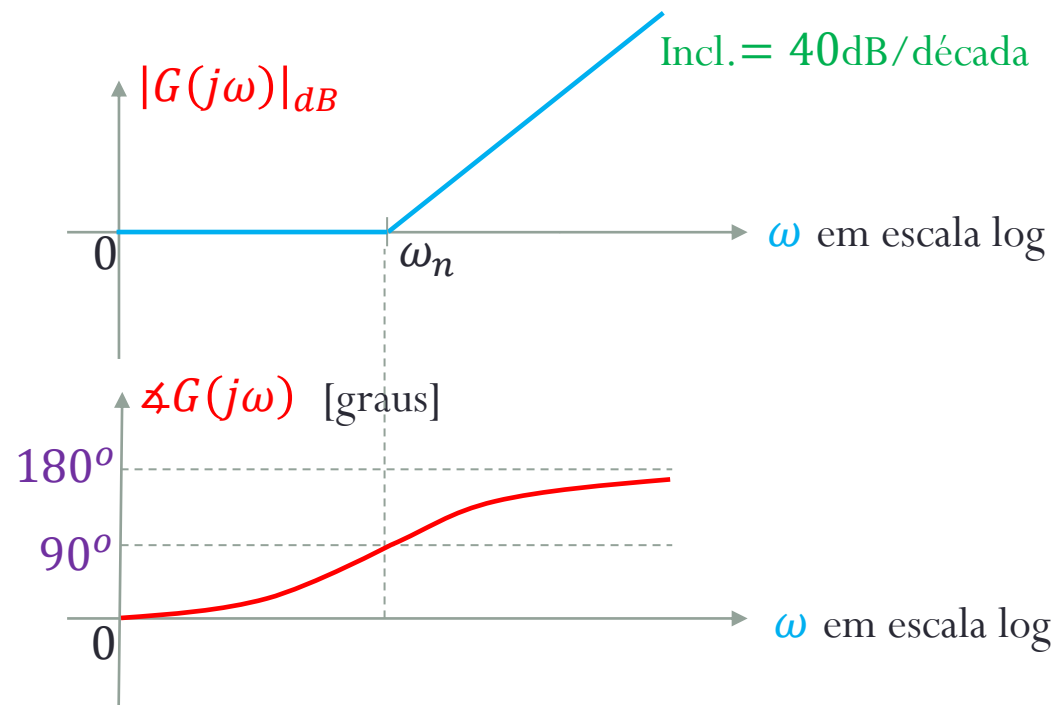
$$\angle G(j\omega) = +180^\circ$$

As assíntotas do gráfico de módulo em altas e baixas frequências se encontram em $\omega = \omega_n$. Note que nessa frequência,

$$\angle G(j\omega_n) = +90^\circ$$

VIII.3. Gráficos de Resposta em Frequência

O esboço fica:



VIII.3. Gráficos de Resposta em Frequência

7. Fator de segunda ordem no denominador:

$$G(j\omega) = \frac{1}{1 + 2\zeta j\omega/\omega_n + (j\omega/\omega_n)^2}$$

Portanto,

$$|G(j\omega)|_{dB} = -20 \log \sqrt{(1 - \omega^2/\omega_n^2)^2 + (2\zeta\omega/\omega_n)^2},$$

$$\angle G(j\omega) = -\arctan \frac{2\zeta\omega/\omega_n}{1 - \omega^2/\omega_n^2}.$$

VIII.3. Gráficos de Resposta em Frequência

Valores Extremos da Fase e Assíntotas do Gráfico de Módulo:

- Baixas frequências ($\omega \rightarrow 0$):

$$|G(j\omega)|_{dB} = 0 \text{ dB}$$

$$\angle G(j\omega) = 0^\circ$$

- Altas frequências ($\omega \rightarrow \infty$):

$$|G(j\omega)|_{dB} = -40 \log \omega / \omega_n \text{ dB}$$

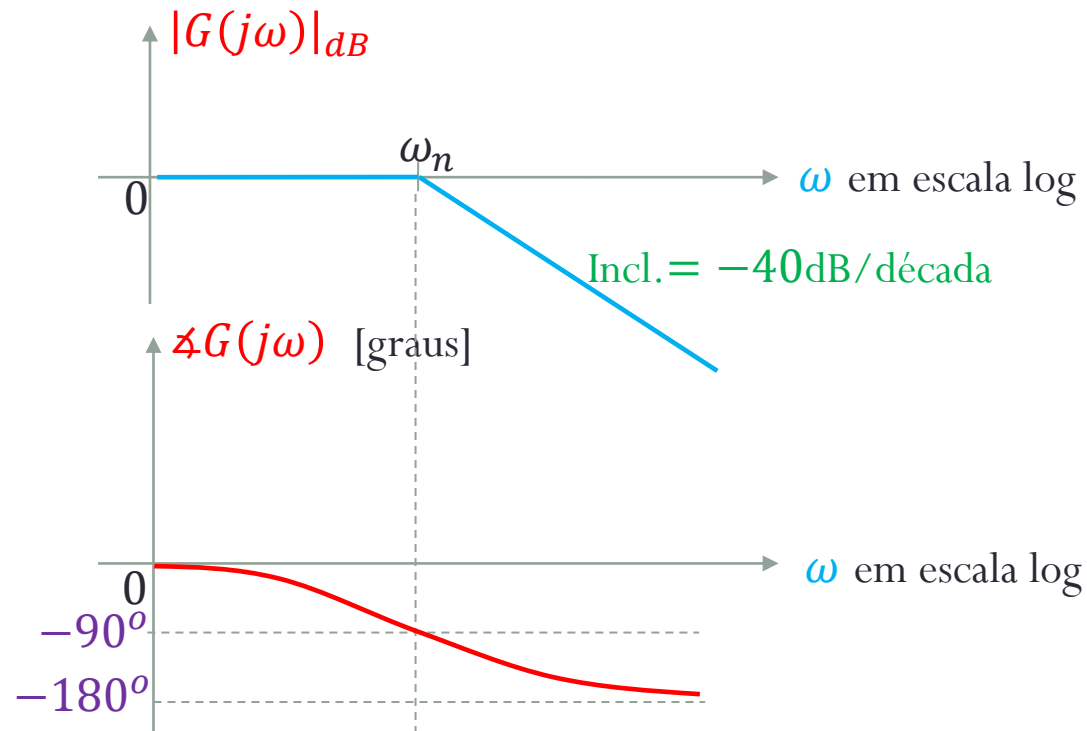
$$\angle G(j\omega) = -180^\circ$$

As assíntotas do gráfico de módulo em altas e baixas frequências se encontram em $\omega = \omega_n$. Note que nessa frequência,

$$\angle G(j\omega_n) = -90^\circ$$

VIII.3. Gráficos de Resposta em Frequência

O esboço fica:



VIII.3. Gráficos de Resposta em Frequência

Procedimento Geral para Esboçar um Diagrama de Bode:

1. Reescreva $G(j\omega)$ de forma a identificar os fatores básicos apresentados acima;
2. Obtenha o diagrama geral adicionando as curvas individuais, tanto de módulo, quanto de fase.

VIII.3. Gráficos de Resposta em Frequência

Exemplo 1:

Seja o sistema modelado pela seguinte FT:

$$G(s) = \frac{10(s + 3)}{s(s + 2)(s^2 + s + 2)}.$$

Esboce o diagrama de Bode desse sistema.

VIII.3. Gráficos de Resposta em Frequência

Exemplo 2:

Seja o sistema modelado pela seguinte FT:

$$G(s) = \frac{20(s + 1)}{s(s + 5)(s^2 + 2s + 10)}$$

Esboce o diagrama de Bode desse sistema.

VIII.3. Gráficos de Resposta em Frequência

Comentários:

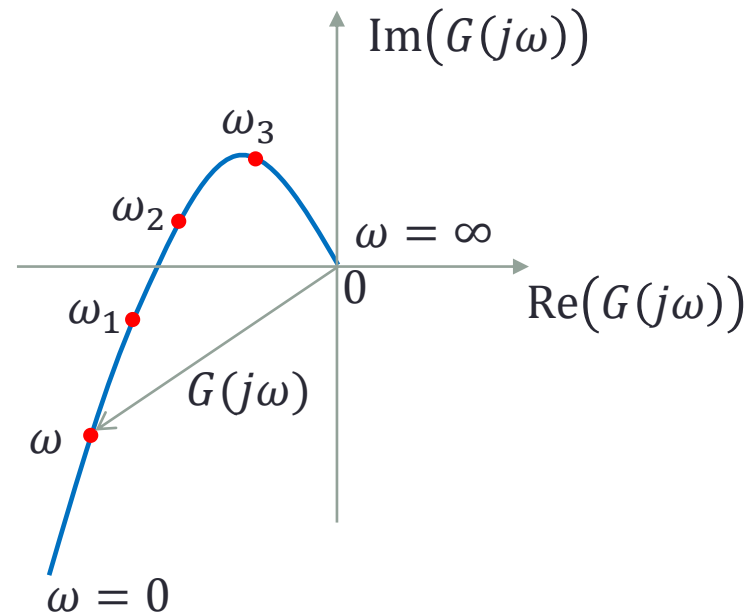
1. O **diagrama de Bode** é **simples** de ser esboçado;
2. Por ele, pode-se facilmente prever os **efeitos dos polos e zeros** de controladores sobre a resposta em frequência de um sistema;
3. Muito útil na **análise e projeto** de sistemas de controle.

VIII.3. Gráficos de Resposta em Frequência

VIII.3.2. Diagrama de Nyquist

Definição:

É o gráfico de $G(j\omega)$, no plano complexo, para ω variando de zero a infinito.



VIII.3. Gráficos de Resposta em Frequência

Propriedades Gerais:

Considere um sistema com FTS dada por

$$G(j\omega) = \frac{K(1 + j\omega T_a)(1 + j\omega T_b) \dots (1 + 2\bar{\zeta}j\omega/\bar{\omega}_n + (j\omega/\bar{\omega}_n)^2)}{(j\omega)^\lambda(1 + j\omega T_1)(1 + j\omega T_2) \dots (1 + 2\tilde{\zeta}j\omega/\tilde{\omega}_n + (j\omega/\tilde{\omega}_n)^2)} \quad (6)$$

ou

$$G(j\omega) = \frac{(j\omega)^m + b_{m-1}(j\omega)^{m-1} + \dots}{(j\omega)^n + a_{n-1}(j\omega)^{n-1} + \dots}, \quad m < n. \quad (7)$$

O **diagrama de Nyquist** desse sistema apresenta as seguintes **características**:

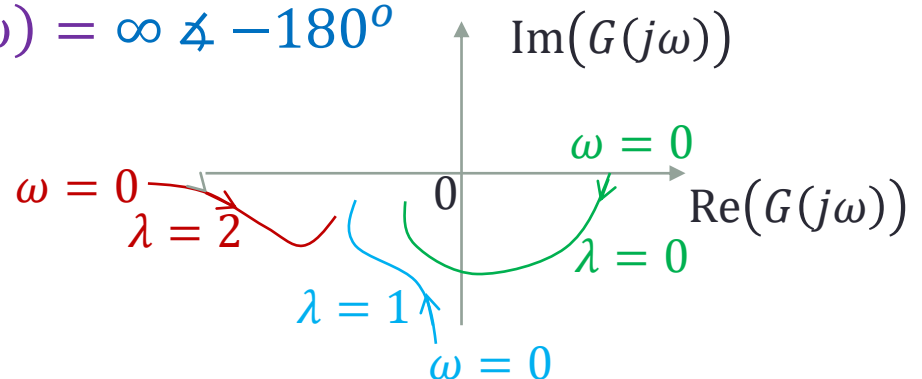
VIII.3. Gráficos de Resposta em Frequência

1. Início do Gráfico ($\omega = 0$):

$$\lim_{\omega \rightarrow 0} G(j\omega) = \lim_{\omega \rightarrow 0} \frac{K}{(j\omega)^\lambda} = \frac{K}{\omega^\lambda} \angle -90^\circ \times \lambda$$

Portanto,

- Se $\lambda = 0$ (tipo 0) $\Rightarrow \lim_{\omega \rightarrow 0} G(j\omega) = K \angle 0^\circ$
- Se $\lambda = 1$ (tipo 1) $\Rightarrow \lim_{\omega \rightarrow 0} G(j\omega) = \infty \angle -90^\circ$
- Se $\lambda = 2$ (tipo 2) $\Rightarrow \lim_{\omega \rightarrow 0} G(j\omega) = \infty \angle -180^\circ$



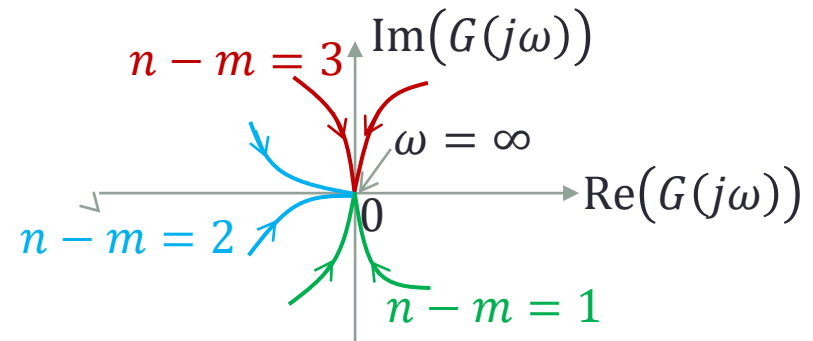
VIII.3. Gráficos de Resposta em Frequência

2. Fim do Gráfico ($\omega = \infty$):

$$\lim_{\omega \rightarrow \infty} G(j\omega) = \lim_{\omega \rightarrow \infty} \frac{1}{(j\omega)^{n-m}} = 0 \angle -90^\circ \times (n-m)$$

Portanto,

- Se $n - m = 1 \Rightarrow \lim_{\omega \rightarrow \infty} G(j\omega) = 0 \angle -90^\circ$
- Se $n - m = 2 \Rightarrow \lim_{\omega \rightarrow \infty} G(j\omega) = 0 \angle -180^\circ$
- Se $n - m = 3 \Rightarrow \lim_{\omega \rightarrow \infty} G(j\omega) = 0 \angle -270^\circ$

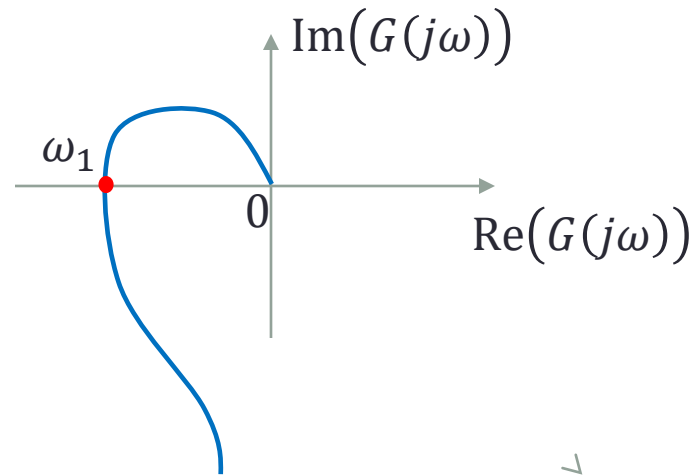


VIII.3. Gráficos de Resposta em Frequência

3. Cruzamento com o Eixo Real:

Ocorre nas frequências ω_1 em que

$$\text{Im}(G(j\omega_1)) = 0$$

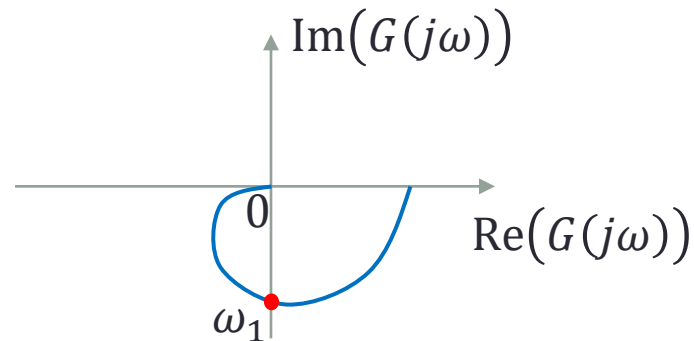


VIII.3. Gráficos de Resposta em Frequência

4. Cruzamento com o Eixo Imaginário:

Ocorre nas frequências ω_1 em que

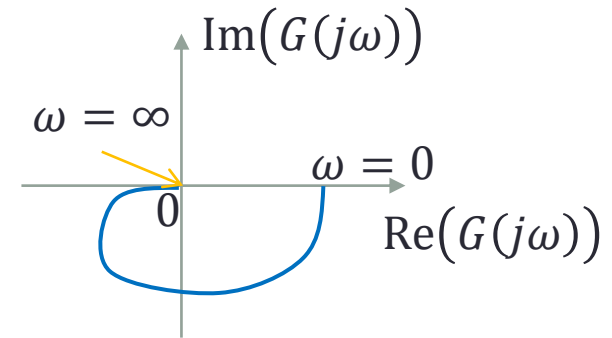
$$\operatorname{Re}(G(j\omega_1)) = 0$$



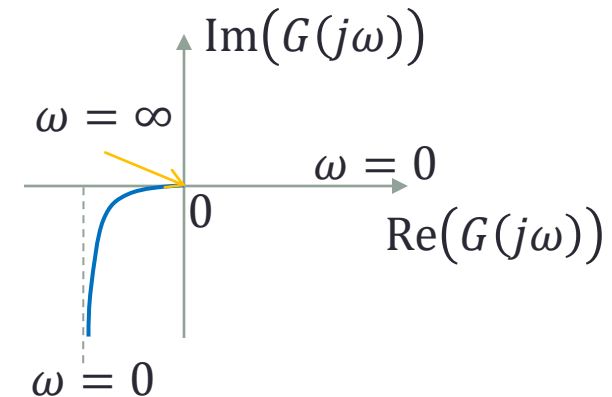
VIII.3. Gráficos de Resposta em Frequência

Exemplos:

$$1. \quad G(j\omega) = \frac{\omega_n^2}{(j\omega)^2 + 2\zeta\omega_n(j\omega) + \omega_n^2} \Rightarrow \begin{matrix} \lambda = 0 \\ n - m = 2 \end{matrix}$$



$$2. \quad G(j\omega) = \frac{\omega_n^2}{(j\omega)(j\omega + 2\zeta\omega_n)} \Rightarrow \begin{matrix} \lambda = 1 \\ n - m = 2 \end{matrix}$$

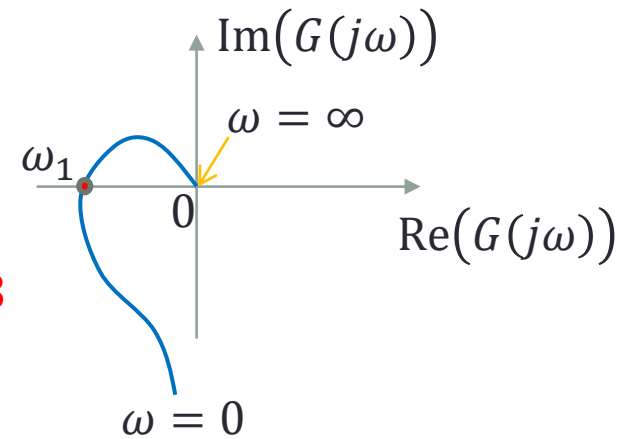


VIII.3. Gráficos de Resposta em Frequência

$$3. \quad G(j\omega) = \frac{\omega_n^2}{(j\omega)((j\omega)^2 + 2\zeta\omega_n(j\omega) + \omega_n^2)} \Rightarrow$$

$$\lambda = 1$$

$$n - m = 3$$



VIII.3. Gráficos de Resposta em Frequência

Exercício:

No exemplo 3 (acima), calcule a frequência ω_1 de cruzamento do gráfico de Nyquist com o eixo real.

VIII.3. Gráficos de Resposta em Frequência

Comentários:

O diagrama de Nyquist é útil:

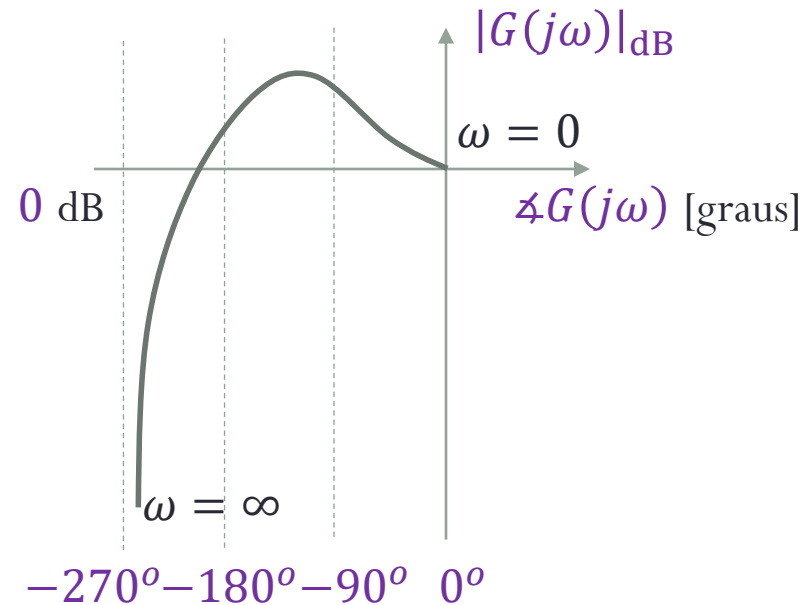
1. na análise de estabilidade absoluta (Capítulo IV);
2. na análise de estabilidade relativa (Seção VIII.4).

VIII.3. Gráficos de Resposta em Frequência

VIII.3.3. Diagrama de Nichols

Definição:

É o gráfico de $|G(j\omega)|_{\text{dB}} \times \angle G(j\omega)$ para ω variando de zero a infinito.



VIII.3. Gráficos de Resposta em Frequência

Comentários:

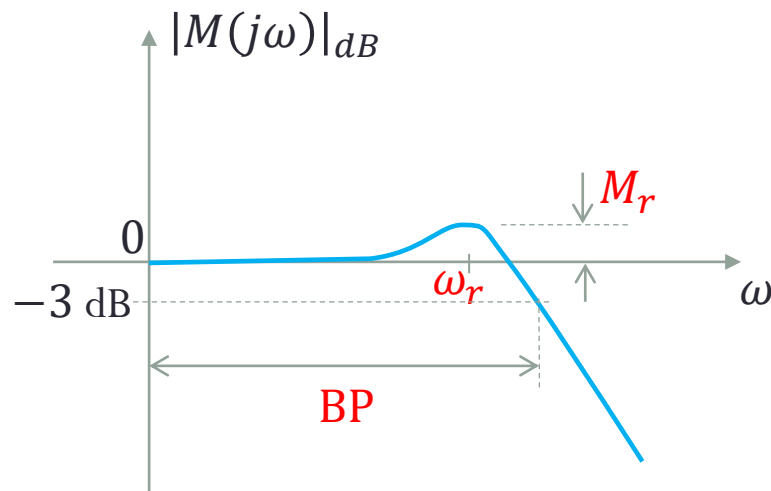
1. O **diagrama de Nichols** compacta o **diagrama de Bode** num único gráfico;
2. Não há um conjunto de regras para o seu esboço;
3. No passado era empregado no **ajuste de ganho da malha** para satisfazer um **pico de ressonância** desejado.

Resposta em Frequência: Malha Fechada

VIII.4. Resposta em Frequência de Malha Fechada

VIII.4.1. Definições Preliminares

Curva de módulo **típica** de sistemas de controle em **malha fechada**:



ω_r : Frenquência de ressonância

M_r : Pico de ressonância

BP: Banda passante

VIII.4. Resposta em Frequência de Malha Fechada

VIII.4.2. Sistema de Segunda Ordem Padrão

Neste caso, a **função de transferência senoidal** (FTS) de **malha fechada** é:

$$M(j\omega) = \frac{\omega_n^2}{(j\omega)^2 + 2\zeta\omega_n(j\omega) + \omega_n^2} = \frac{1}{1 + 2\zeta(j\omega/\omega_n) + (j\omega/\omega_n)^2}, \quad (8)$$

Cujo módulo é

$$|M(j\omega)| = \left[\left(1 - \frac{\omega^2}{\omega_n^2} \right)^2 + \left(\frac{2\zeta\omega}{\omega_n} \right)^2 \right]^{-\frac{1}{2}} \quad (9)$$

Ou, definindo $u \triangleq \omega/\omega_n$,

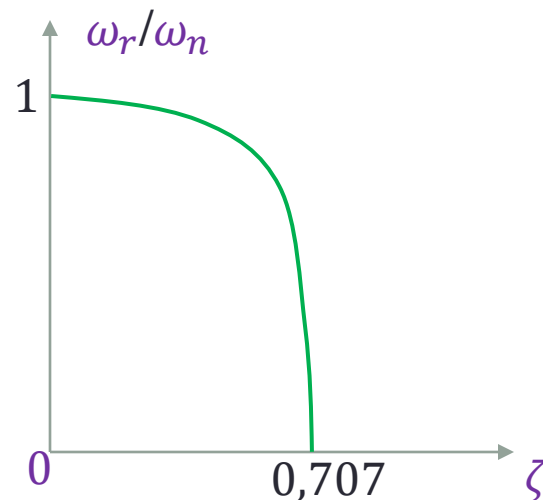
$$|M(j\omega)| = [(1 - u^2)^2 + (2\zeta u)^2]^{-\frac{1}{2}} \quad (10)$$

VIII.4. Resposta em Frequência de Malha Fechada

Frequência de Ressonância:

A ressonância de um sistema de segunda ordem padrão ocorre na frequência:

$$\omega_r = \omega_n \sqrt{1 - 2\zeta^2}$$

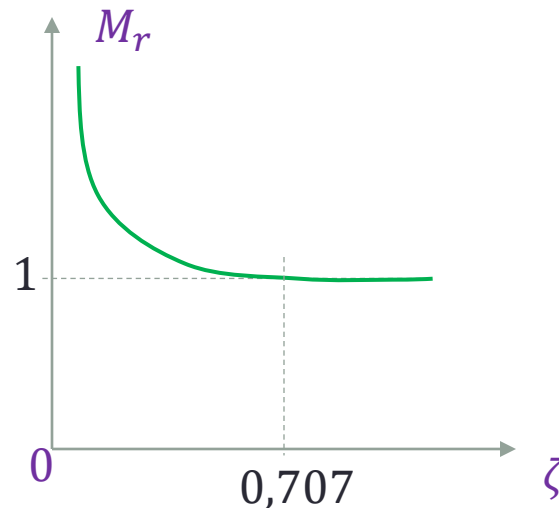


VIII.4. Resposta em Frequência de Malha Fechada

Pico de Ressonância:

O pico de ressonância de um sistema de segunda ordem padrão é dado por:

$$M_r = |M(j\omega_r)| = \frac{1}{2\zeta\sqrt{1-\zeta^2}}$$



VIII.4. Resposta em Frequência de Malha Fechada

Banda Passante:

A banda passante de um sistema de segunda ordem padrão é dada por:

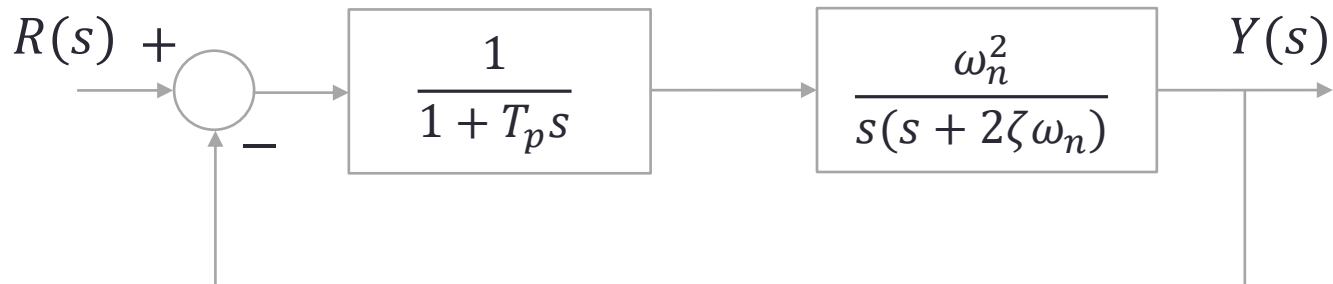
$$BP = \omega_n \sqrt{(1 - 2\zeta^2) + \sqrt{2 - 4\zeta^2 + 4\zeta^4}}$$

VIII.4. Resposta em Frequência de Malha Fechada

VIII.4.3. Efeitos da Inserção de Raízes

Inserção de um Polo:

Seja o sistema modelado por

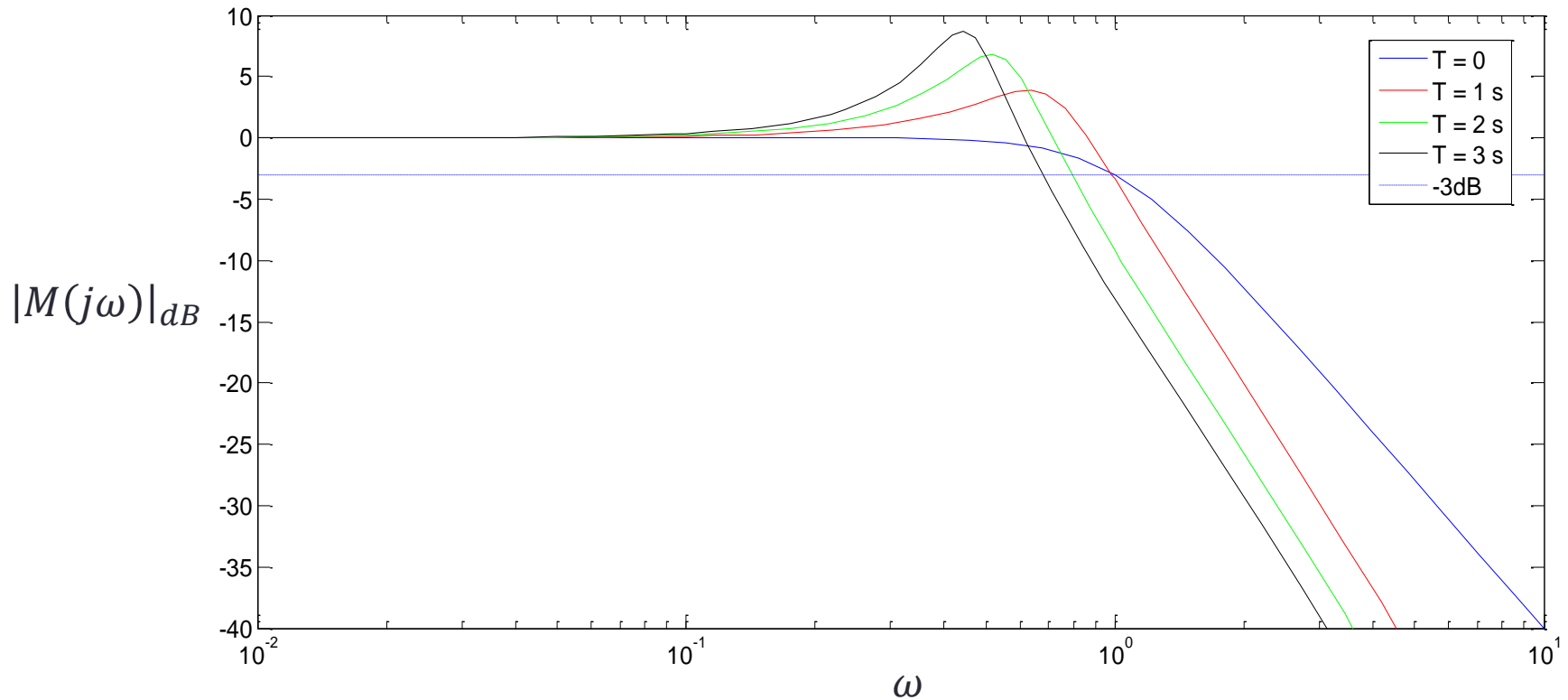


A função de transferência de malha fechada fica

$$M(s) = \frac{Y(s)}{R(s)} = \frac{\omega_n^2}{T_p s^3 + (2\zeta\omega_n T_p + 1)s^2 + 2\zeta\omega_n s + \omega_n^2}$$

VIII.4. Resposta em Frequência de Malha Fechada

Considerando, por exemplo, $\zeta = 0,707$ e $\omega_n = 1$ rad/s e variando $T_p = 0; 1; 2; 3$, obtemos as seguintes curvas de módulo:



VIII.4. Resposta em Frequência de Malha Fechada

Comentários:

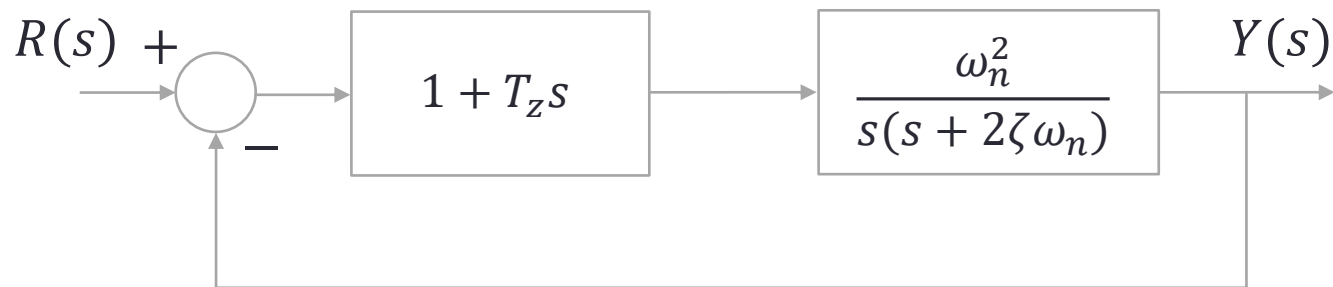
Espera-se, portanto, que o polo de malha aberta inserido em $\check{s} = -1/T_p$, à medida que se aumenta T_p :

- Reduza BP, tornando o sistema mais lento;
- Aumente M_r , tornando o sistema menos estável.

VIII.4. Resposta em Frequência de Malha Fechada

Inserção de um Zero:

Seja o sistema modelado por

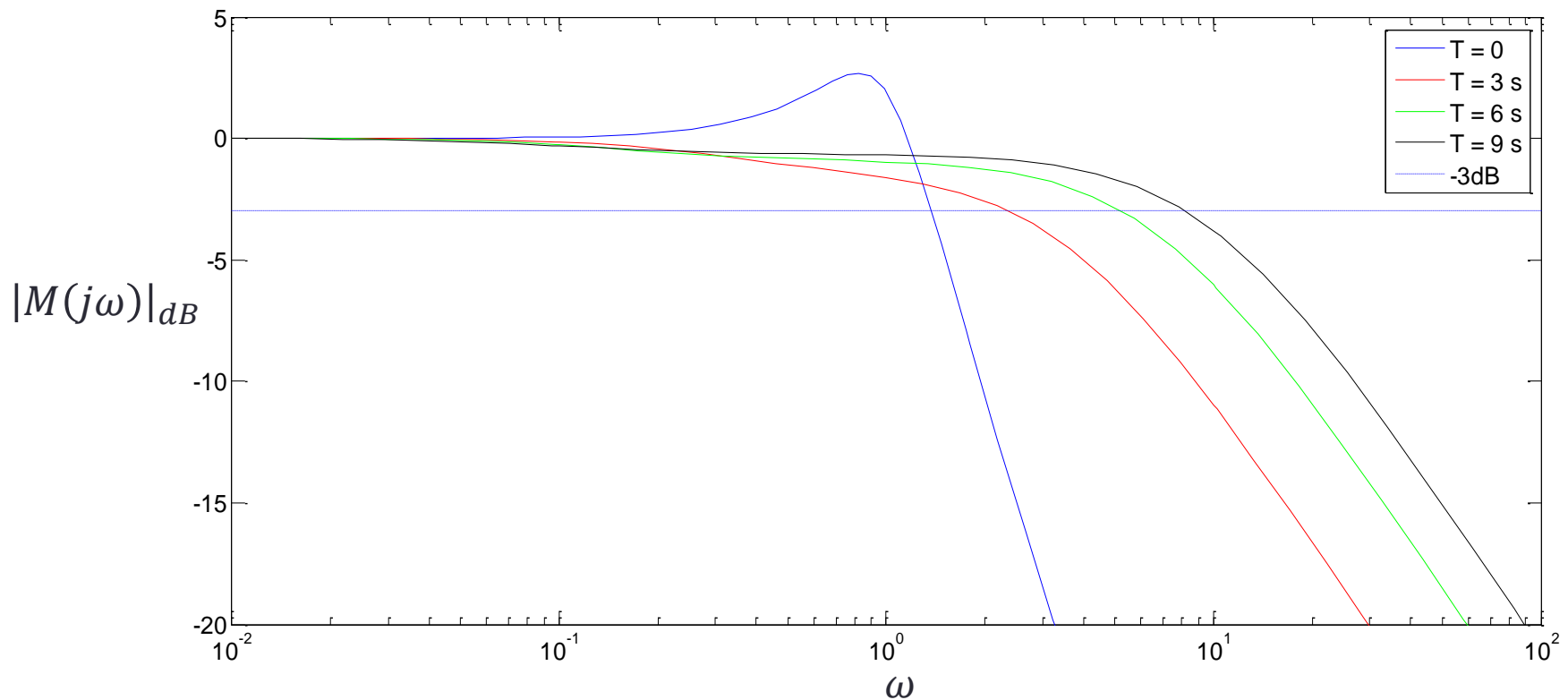


A função de transferência de malha fechada fica

$$\frac{Y(s)}{R(s)} = \frac{\omega_n^2 (1 + T_z s)}{s^2 + (2\zeta\omega_n + T_z\omega_n^2)s + \omega_n^2}$$

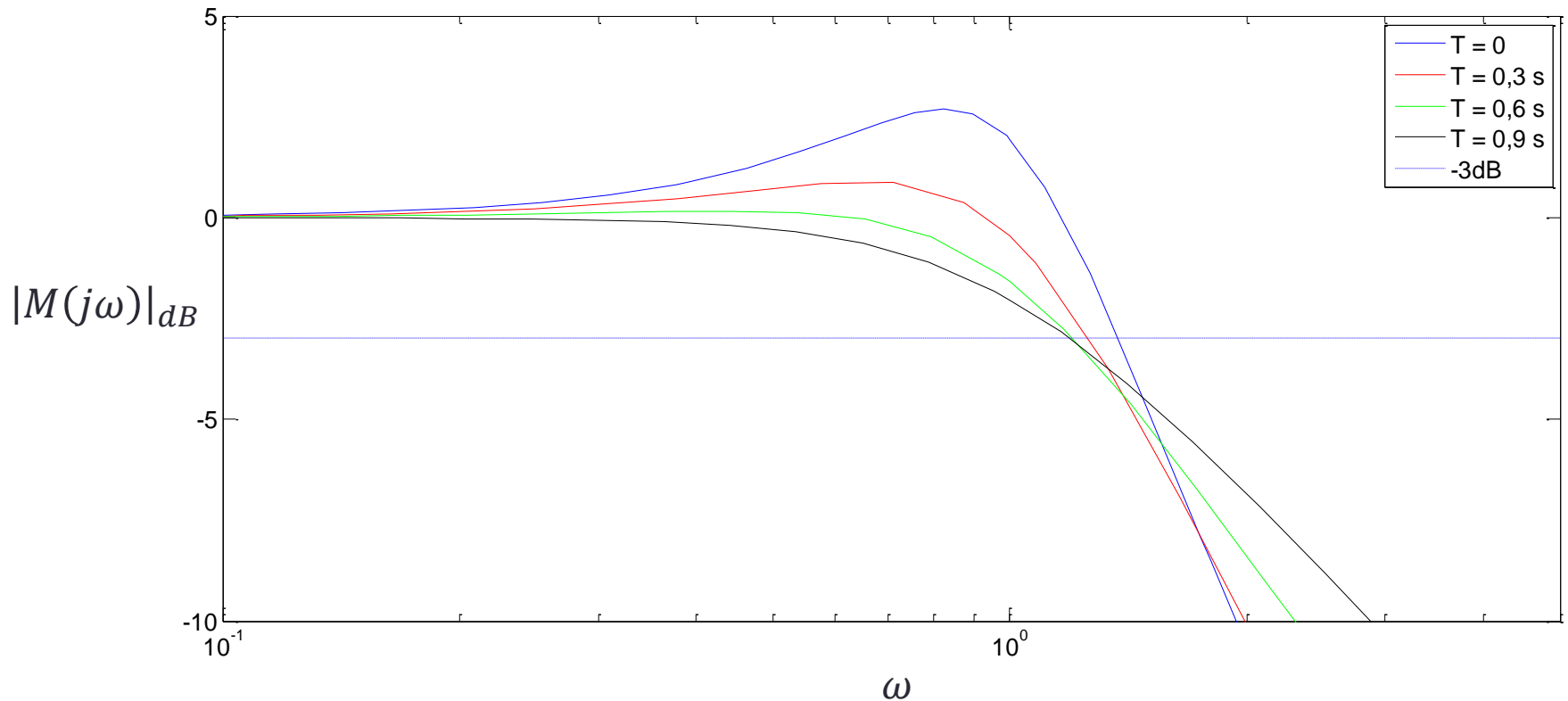
VIII.4. Resposta em Frequência de Malha Fechada

Considerando, por exemplo, $\zeta = 0,4$ e $\omega_n = 1$ rad/s e variando $T_z = 0; 3; 6; 9$, obtemos as seguintes curvas de módulo:



VIII.4. Resposta em Frequência de Malha Fechada

Considerando, por outro lado, $\zeta = 0,4$ e $\omega_n = 1$ rad/s e variando $T_z = 0; 0,3; 0,6; 0,9$, obtemos as seguintes curvas de módulo:



VIII.4. Resposta em Frequência de Malha Fechada

Comentários:

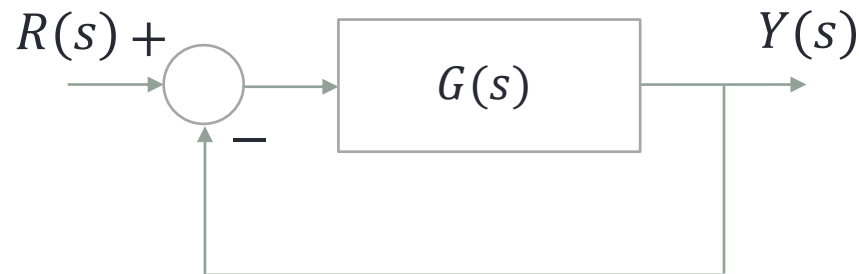
Espera-se, portanto, que o zero de malha aberta inserido em $\check{s} = -1/T_z$, à medida que se aumenta T_z :

- Para “grandes” valores de T_z :
 - Aumente BP, tornando o sistema mais rápido;
 - Reduza M_r , tornando o sistema mais estável.
- Para “pequenos” valores de T_z :
 - Reduza BP, tornando o sistema mais lento;
 - Reduza M_r , tornando o sistema mais estável.

Erro em Regime Permanente

VIII.5. Erro em Regime Permanente

Seja o sistema modelado por



Considere que

$$G(s) = \frac{K(T_a s + 1)(T_b s + 1) \dots (T_m s + 1)}{s^\lambda (T_1 s + 1)(T_2 s + 1) \dots (T_n s + 1)} \quad (11)$$

ou

$$G(j\omega) = \frac{K(T_a j\omega + 1)(T_b j\omega + 1) \dots (T_m j\omega + 1)}{(j\omega)^\lambda (T_1 j\omega + 1)(T_2 j\omega + 1) \dots (T_n j\omega + 1)} \quad (12)$$

VIII.5. Erro em Regime Permanente

Sistemas Tipo 0:

O sistema (11) é do tipo 0 se $\lambda = 0$. Neste caso, a constante de erro de posição κ_p é

$$\kappa_p \triangleq \lim_{s \rightarrow 0} G(s) = \lim_{s \rightarrow 0} \frac{K(T_a s + 1)(T_b s + 1) \dots (T_m s + 1)}{(T_1 s + 1)(T_2 s + 1) \dots (T_n s + 1)} = K$$

Por outro lado, fazendo $\omega \rightarrow 0$ em (12), o módulo $|G(j\omega)|$ pode ser aproximado por

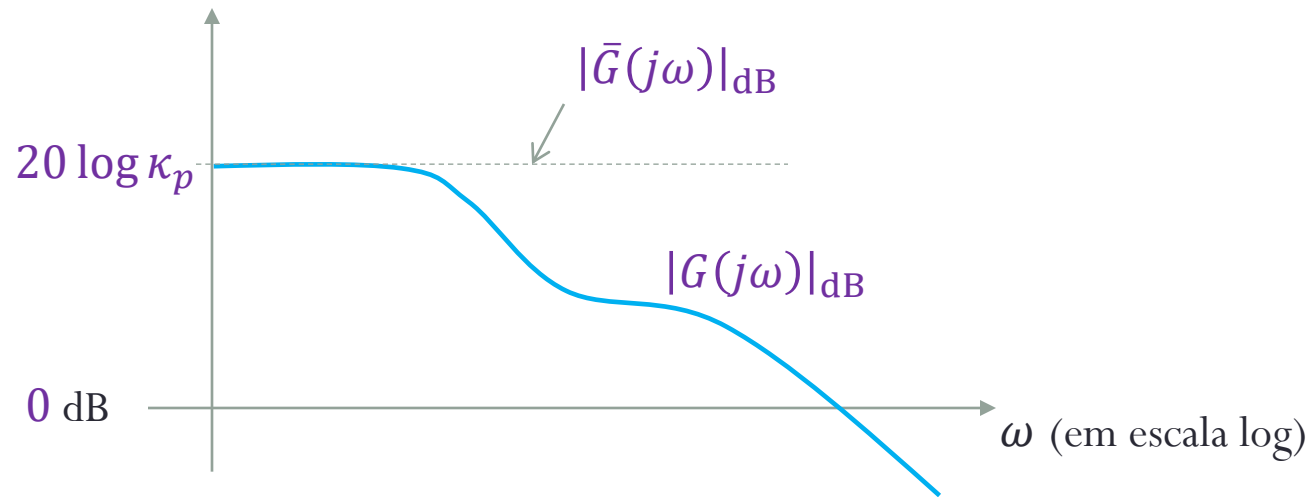
$$|\bar{G}(j\omega)| = K,$$

donde conclui-se que

$$\kappa_p = |\bar{G}(j\omega)|$$

VIII.5. Erro em Regime Permanente

Graficamente:



VIII.5. Erro em Regime Permanente

Sistemas Tipo 1:

O sistema (11) é do tipo 1 se $\lambda = 1$. Neste caso, a constante de erro de velocidade κ_v é

$$\kappa_v \triangleq \lim_{s \rightarrow 0} sG(s) = \lim_{s \rightarrow 0} \frac{K(T_a s + 1)(T_b s + 1) \dots (T_m s + 1)}{(T_1 s + 1)(T_2 s + 1) \dots (T_n s + 1)} = K$$

Por outro lado, fazendo $\omega \rightarrow 0$ em (12), o módulo $|G(j\omega)|$ pode ser aproximado por

$$|\bar{G}(j\omega)| = \left| \frac{K}{j\omega} \right| = \frac{\kappa_v}{\omega}. \quad (13)$$

VIII.5. Erro em Regime Permanente

Logo,

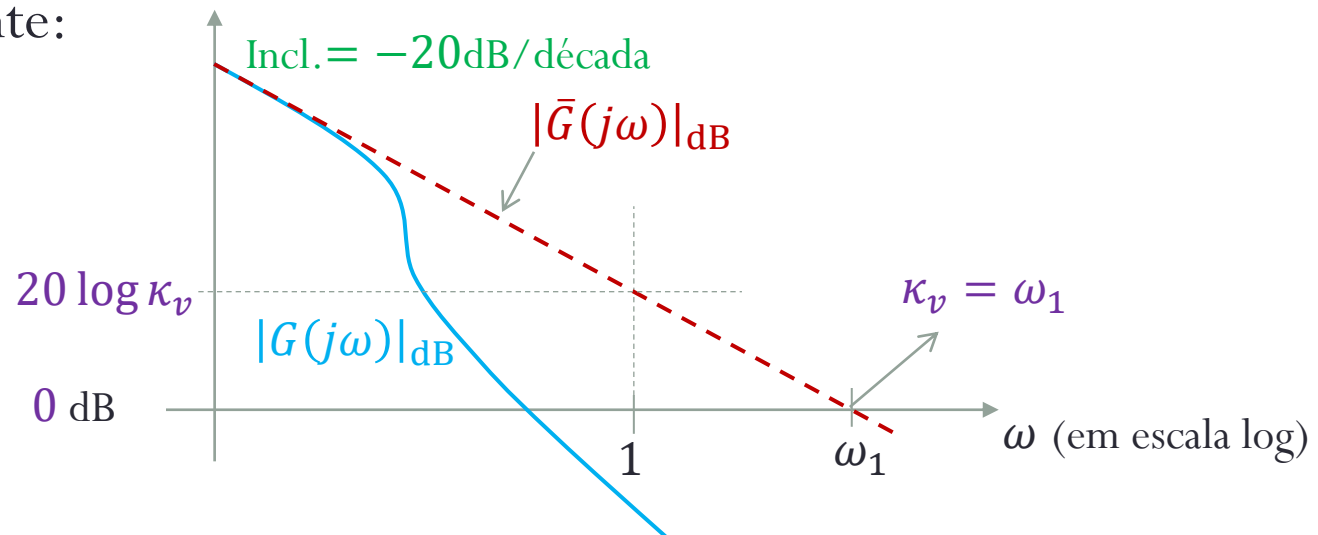
- Fazendo $\omega = 1$ na equação (13), obtemos:

$$\kappa_v = |\bar{G}(j1)|$$

- Fazendo $|\bar{G}(j\omega_1)| = 1$ na equação (13), obtemos:

$$\kappa_v = \omega_1$$

Graficamente:



VIII.5. Erro em Regime Permanente

Sistemas Tipo 2:

O sistema (11) é do tipo 2 se $\lambda = 2$. Neste caso, a constante de erro de aceleração κ_a é

$$\kappa_a \triangleq \lim_{s \rightarrow 0} s^2 G(s) = \lim_{s \rightarrow 0} s^2 \frac{K(T_a s + 1)(T_b s + 1) \dots (T_m s + 1)}{s^2 (T_1 s + 1)(T_2 s + 1) \dots (T_n s + 1)} = K$$

Por outro lado, fazendo $\omega \rightarrow 0$ em (12), o módulo $|G(j\omega)|$ pode ser aproximado por

$$|\bar{G}(j\omega)| = \left| \frac{K}{(j\omega)^2} \right| = \frac{\kappa_a}{\omega^2} \quad (14)$$

VIII.5. Erro em Regime Permanente

Logo,

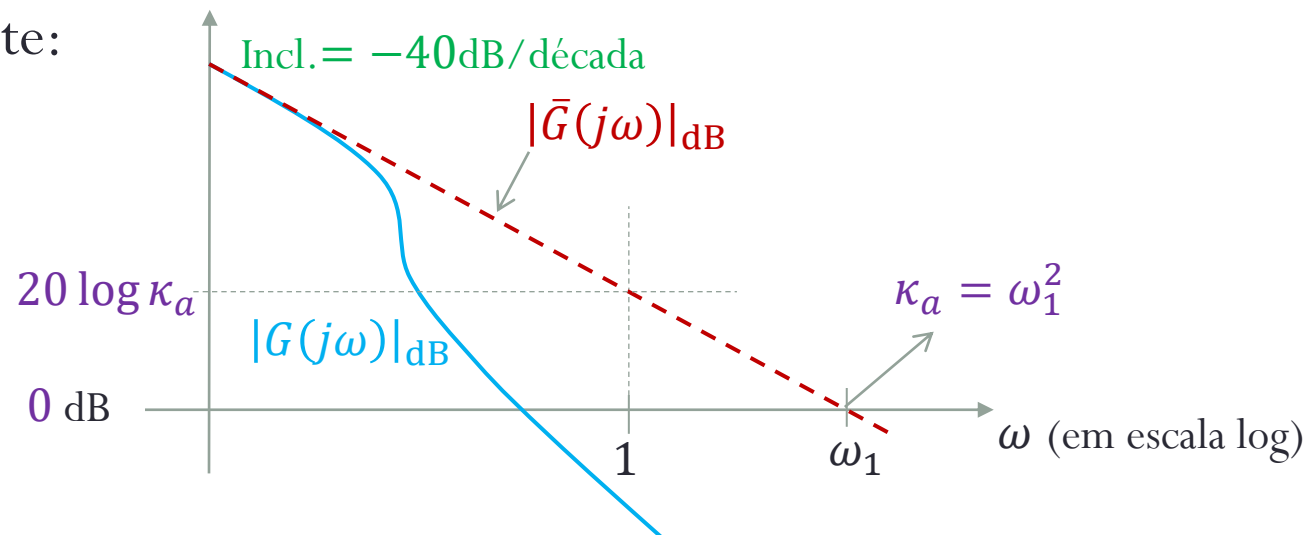
- Fazendo $\omega = 1$ na equação (14), obtemos:

$$\kappa_a = |\bar{G}(j1)|$$

- Fazendo $|\bar{G}(j\omega_1)| = 1$ na equação (14), obtemos:

$$\kappa_a = \omega_1^2$$

Graficamente:



Estabilidade Relativa

VIII.6. Estabilidade Relativa

VIII.6.1. Definições

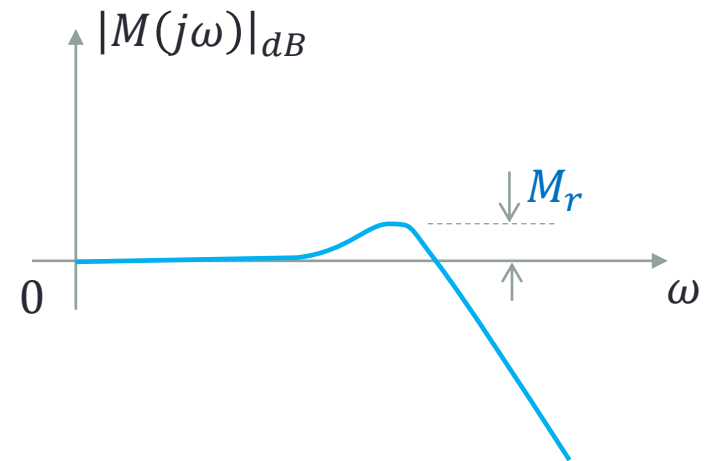
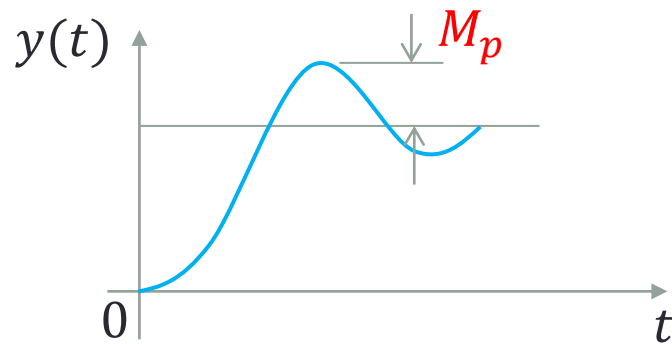
Estabilidade Relativa:

Estabilidade relativa de um sistema de controle consiste no seu grau de estabilidade.

VIII.6. Estabilidade Relativa

Como Quantificar a Estabilidade Relativa?

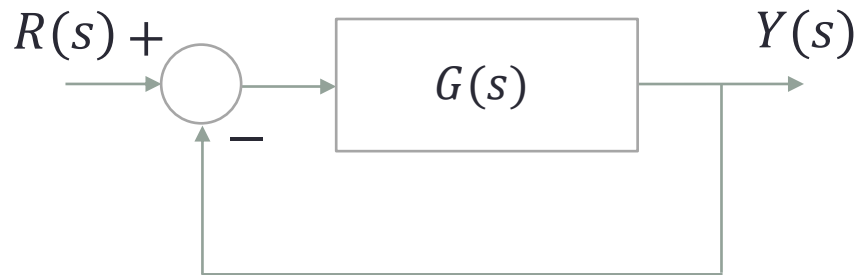
Por exemplo, quanto maior o M_p ou o M_r , menos estável é o sistema!



VIII.6. Estabilidade Relativa

Exemplo Computacional:

Seja o sistema de controle em malha fechada modelado por:



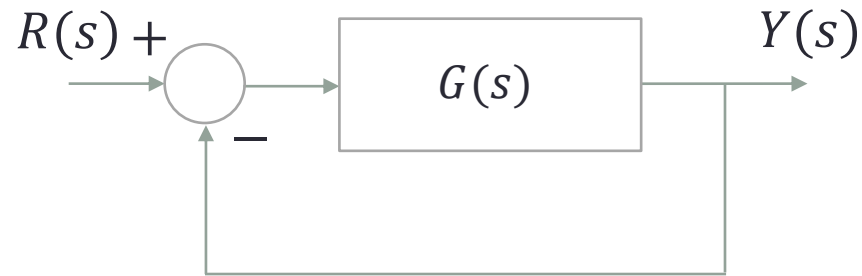
$$G(s) = \frac{1}{s(s+1)(s+2)}$$

Usando o comando `rltool` do MATLAB, mova os polos de malha fechada, aproximando-os e afastando-os do semiplano complexo da direita e observe nos gráficos de resposta o que acontece com M_p e M_r .

VIII.6. Estabilidade Relativa

Margens de Estabilidade:

Seja um sistema modelado por:



e considere que $G(s)$ não tenha nem polos nem zeros no semiplano complexo da direita.

VIII.6. Estabilidade Relativa

Uma forma bastante usual de medir a estabilidade relativa do sistema em questão é mediante a “distância” do diagrama de Nyquist de $G(j\omega)$ ao ponto -1 .

Para medir essa “distância”, utilizamos as chamadas **margem de fase** e **margem de ganho**, que são definidas em seguida.

VIII.6. Estabilidade Relativa

Frequência de Cruzamento de Ganho (ω_{cg}):

É definida como a frequência $\omega = \omega_{cg}$ tal que

$$|G(j\omega_{cg})| = 1$$

Frequência de Cruzamento de Fase (ω_{cf}):

É definida como a frequência $\omega = \omega_{cf}$ tal que

$$\angle G(j\omega_{cf}) = \pm 180^\circ$$

VIII.6. Estabilidade Relativa

Margem de Fase (μ_f):

$$\mu_f \triangleq 180^\circ + \angle G(j\omega_{cg}) \quad [\text{graus}]$$

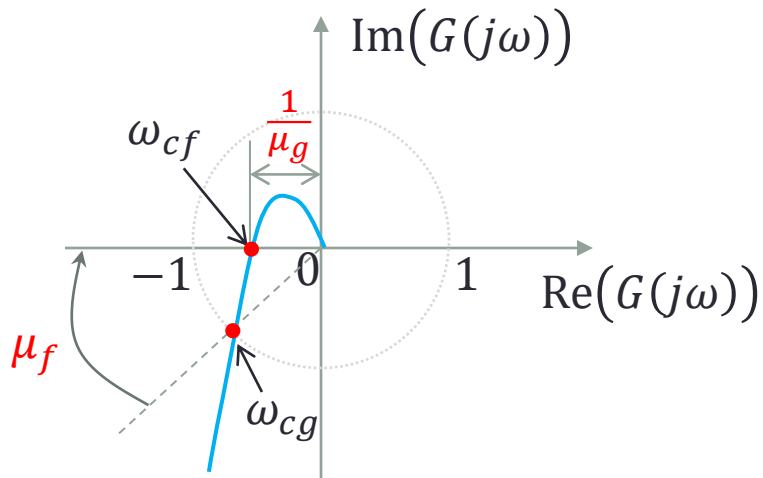
Margem de Ganho (μ_g):

$$\mu_{g(dB)} \triangleq 20 \log \frac{1}{|G(j\omega_{cf})|} \quad [\text{dB}]$$

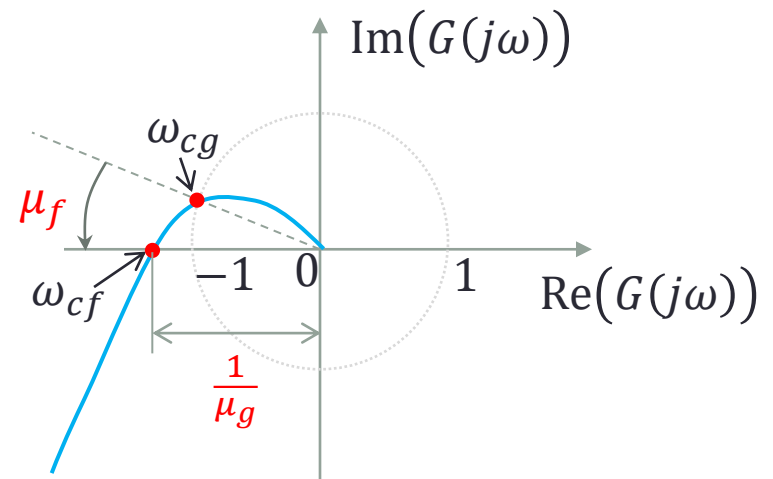
VIII.6. Estabilidade Relativa

VIII.6.2. Medição Gráfica das Margens de Estabilidade

Diagrama de Nyquist:



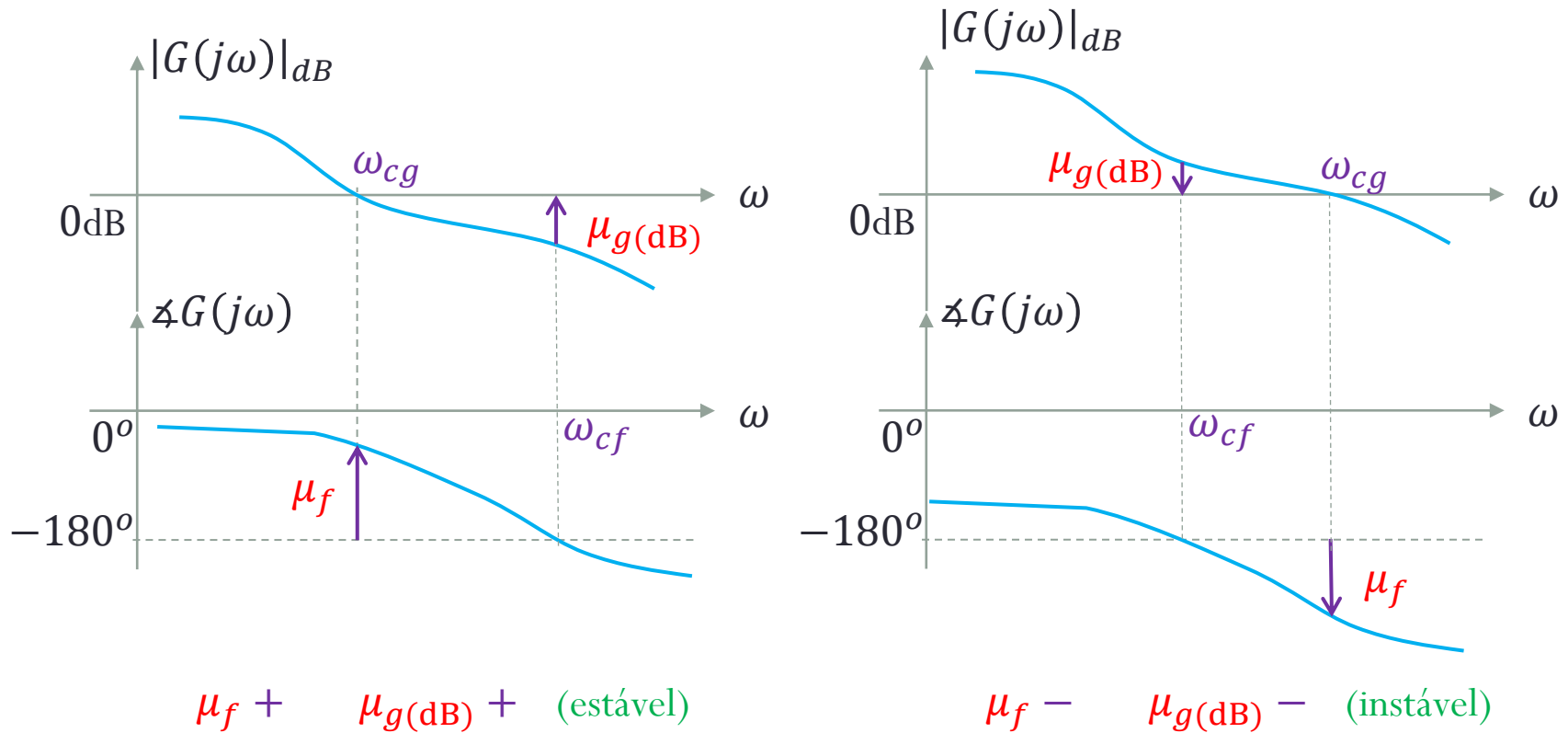
$\mu_f +$ $\mu_g(\text{dB}) +$ (estável)



$\mu_f -$ $\mu_g(\text{dB}) -$ (instável)

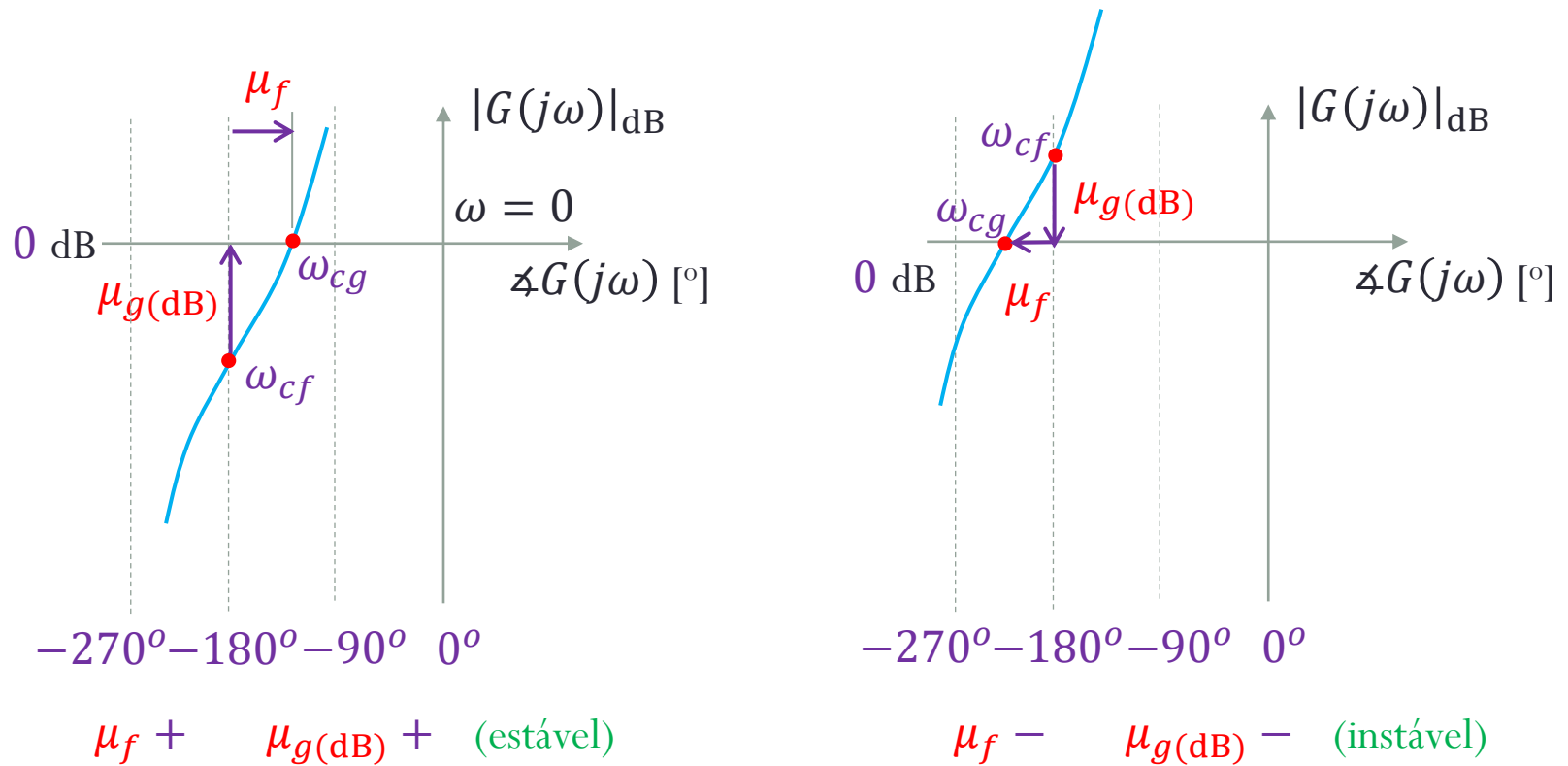
VIII.6. Estabilidade Relativa

Diagrama de Bode:



VIII.6. Estabilidade Relativa

Diagrama de Nichols:



Obrigado pela presença
e atenção!